

سیستم مالتی مودال بیومتریک با تلفیق اثر انگشت و عنیبه در سطح تصمیم‌گیری

فاطمه کشاورزی^۱، کاوه پاشایی^۲، حسین مومن‌زاده حقیقی^۳

^۱ کارشناسی ارشد گروه مهندسی فناوری اطلاعات- شبکه های کامپیوتری، دانشگاه آزاد اسلامی بوشهر، fk.keshavarzi89@gmail.com

^۲ استادیار، گروه مهندسی کامپیوتر، دانشگاه آزاد اسلامی بوشهر، kaveh80@gmail.com

^۳ استادیار، مهندسی برق، دانشگاه آزاد اسلامی بوشهر، momenzadeh.hossein@gmail.com

تاریخ پذیرش: ۹۷/۱۲/۸

چکیده:

سیستم‌های بیومتریک تکی، که تنها از یک ویژگی برای تشخیص استفاده می‌کنند می‌توانند مشکلاتی نظیر داده‌های نویزی، تمایز اندک ویژگی بیومتریک، نرخ‌های خطای غیر قابل قبول و حمله‌های کلاهبرداران را به همراه داشته باشد اما با به کارگیری سیستم‌های بیومتریک مالتی مودال می‌توان تا حد زیادی بر این مشکلات غلبه نمود و عملکرد و قابلیت اطمینان شناسایی بیومتریک را بیش از پیش افزایش داد، چرا که این سیستم‌ها در مقایسه با سیستم‌های بیومتریک تکی از میزان دقت و امنیت بیشتری برخوردار هستند. به همین منظور در این تحقیق به بررسی تلفیق دو بیومتریک رایج و پرکاربرد اثرانگشت و عنیبه در سطح تصمیم‌گیری با استفاده از منطق فازی پرداخته شده است. در روش ترکیبی، نتایج حاصل از بررسی عنیبه و اثر انگشت با هم به صورت یکجا به منظور تصمیم‌گیری نهایی ترکیب گردیده و براساس آن اقدام به شناسایی افراد گردیده و در نهایت کارایی این سیستم مورد ارزیابی قرار گرفته است. نتایج آزمایشات و بررسی‌های صورت گرفته نشانگر آن است که سیستم بیومتریک ترکیبی پیشنهاد شده، دارای دقت و قابلیت اطمینان بیشتری نسبت به سیستم‌های بیومتریک تکی است. در این سیستم مالتی مودال خطای نوع اول *FAR* و خطای نوع دوم *FRR* تصمیم‌گیری به ترتیب برابر با ۰.۳٪ و ۱.۲٪ می‌باشد.

کلید واژه: بیومتریک مالتی مودال، تلفیق عنیبه و اثرانگشت، سطح تصمیم‌گیری، تشخیص عنیبه، تشخیص اثرانگشت.

۱- مقدمه

در سیستم‌های اولیه برای تایید کاربران از کارت‌های با نام کاربری و پسورد استفاده می‌کردند مثل سیستم‌های خودپرداز بانکی اما این روش تشخیص هویت دو مشکل اساسی دارد یکی اینکه کاربران براساس چیزی که همراه خود دارند احراز هویت می‌شوند که ممکن است گم شود یا به سرقت رود و دیگری فراموش کردن پسورد است، بیومتریک‌ها راه حل آسان، بادقت و صحت بالایی را برای این مشکلات فراهم کردند این راه حل شناسایی افراد را به بدن انسان یعنی ویژگی‌های منحصر به فرد آن مربوط می‌کند این روش‌ها بر مبنای چیزی که هستید عمل می‌کنند نه چیزی که می‌دانید یا همراه خود دارید.

روش‌های سنتی تشخیص هویت شخصی دارای ضعف‌های طبیعی است. بیومتریک، تکنولوژی و روشهای مؤثر به منظور غلبه بر این گونه ضعف‌ها می‌باشد. سیستم‌های بیومتریک تکی که تنها از یک ویژگی برای تشخیص استفاده می‌کنند و علارغم امنیتی که ایجاد می‌کنند دارای نقاط ضعفی نظیر داده‌های نویزی، تمایز اندک ویژگی بیومتریک، نرخ‌های خطای غیرقابل قبول و حمله‌های کلاهبرداران می‌باشند. این مشکلات می‌توانند با استفاده از سیستم‌های بیومتریک مالتی مودال برطرف شود. به منظور بهبود دقت سیستم‌های بیومتریک ترکیبی مورد استفاده قرار می‌گیرد. یک

سیستم بیومتریک مالتی‌مدال سیستمی است که در آن بیش از یک فاکتور بیومتریک برای تشخیص هویت استفاده می‌شود. از این‌رو استفاده از بیش از یک بیومتریک برای افزایش ضریب امنیتی و کاهش درجه خطای مورد استفاده قرار می‌گیرد.

در این پژوهش برای اینکه یک سیستم بیومتریک قوی و قابل اطمینان در سیستم بیومتریک مالتی مودال داشته باشیم از ویژگی‌های اثر انگشت و عنیبه استفاده می‌کنیم زیرا تشخیص عمومی تر بوده و تشخیص عنیبه هم دقیق‌ترین و قابل اعتمادترین روش در بین بیومتریک است.

عنیه انسان ساختاری پیچیده دارد که باعث می شود اطلاعات زیادی در بافت آن برای انجام عمل تشخیص هويت وجود داشته باشد.

براساس موارد مطرح شده در بالا، ادغام بیومتریک‌ها می‌تواند در هر یک از سطوح انجام شود. هدف این پژوهش سیستم بیومتریک مالتی مودال با استفاده از بیومتریک "اثر انگشت و عنیه" در سطح تصمیم‌گیری از روش منطق فازی (fuzzy logic) به منظور بهبود دقت تصمیم‌گیری

کارا، اگر یک سیستم به مدت بسیار کوتاه مدت باشد، آنرا با نسبتی که FRR و ER داشته باشند، می‌توان از آن برای اثبات امنیتی استفاده کرد.

می شود.

۲- کارهای مرتبط

^{۱۴} اریفین و حمید (۲۰۱۴) به بررسی سیستم‌های بیومتریک مالتی مودال می‌تواند محدودیت‌ها و چالش‌ها در بیومتریک تک مودال مانند داده‌های فوتو-گرافی را کاهش دهد. این امر باعث می‌شود که از همان مقدار نمونه‌های داشتاری افاده شود.

لارنچ تک بولگ تدانگ، امانت نایانه کا دهندنگ ماقبلاندانته بشک قلابه دیگ شناخته شد.

اکاف ایجاد کنند و اینها را با شرکت های مختلف می توانند در آنها مشترکانی داشتند که اینها را برای خود می خواهند.

شانگهای کی انکار کرده، مرتکا تهدید می‌کند که اتفاقات اخیر را علیه اتهام می‌کند.

اک دو قاتا تباہ ایسے شکاریوں کے لئے کامیاب ہے جو اپنے بھائیوں کو پورا کر دیں۔

³ پورشاہید (۱۳۹۳) به بررسی کلی بیومتریک‌ها و اهمیت آن‌ها پرداخته است.

عناییه و اثر انگشت به عنوان چند بیومتریک استفاده کرده بودند و متوجه شد که با استفاده از این بیومتریک نتیجه خوب با دقت بالا دارد. سطح

امتیاز برای ترکیب استفاده شده است. روش پیشنهادی دقت بالایی در مقایسه با سیستم‌های تک مدلی به دست آورد. [4]بنالیوچه و تواهریا

(۲۰۱۴) این پژوهش به بررسی عملکرد مقایسه‌ای از سه روش مختلف برای ترکیب تشخیص چندوجهی عنییه و اثر انگشت بررسی قرار

می دهد: قانون جمع کلاسیک، قانون جمع موزون و روش منطق فازی. مطالعه تطبیقی در ترکیب عنیبه و اثر انگشت در سطح امتیاز و سطح تصمیم

گیری ارائه شده است.^[5] راس و جین (۲۰۰۳) سیستم مالتی مودال توسط این اشخاص پیشنهاد شده است.^[6] جان داگمن (۲۰۰۴) "چگونگی

کار شناسایی عنیبه" را پیشنهاد کرد داغمن یک سیستم کامل تشخیص عنیبه را به نام خود معرفی نمود که از دقت بالایی برخوردار است و اولین

سیستم پیشنهادی تشخیص عنیه محسوب می‌گردد.^[7]

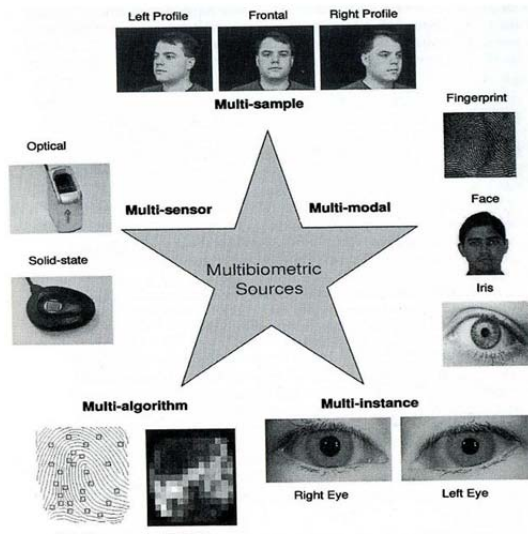
در مقاله‌های [8] [9] [10] [11] [12] نشان می‌دهد که سیستم‌های بیومتریک مالتی مودال بسیار دقیق‌تر، قابل اطمینان‌تر و امنیت بالاتر از استفاده از بیومتریک تک مودال است. در حالی که هیچ یک از بیومتریک‌ها به تنها یک نمی‌تواند قابلیت اطمینان مطلق را تضمین کند اما آنها

۲- بیومتریک

بیومتریک بہ دو دستہ تک بیومتریکی و چند بیومتریکی تقسیم می شود

ب) سیستم های چند بیومتریکی پنج روش مختلف برای رسیدگی به مشکلات مرتبط با سیستم های تک بیومتریک دارد. [13] شکل (۱) انواع آن

سیستم مالتی مودال بیومتریک با تلفیق اثر انگشت و عنبیه در سطح تصمیم گیری



شکل ۱: انواع چندبیومتریکی

الف) چند سنسوری^۱: دو یا چند سنسور برای به دست آوردن داده ها از یک صفت بیومتریک مانند تصویر اثر انگشت با سنسور نوری یا دوربین نور مرئی و یا دوربین مادون قرمز استفاده می شود.

ب) چند نمایندگی^۲: چندین سنسور از چندین قسمت های مشابه بدن تصویر برداری می کنند (تصویر چند اثر انگشت از چندین اثر انگشت یک شخص).

ج) چند نمونه ای^۳: سنسور چندین نمونه از بخش های بدن تصویر برداری کند.

د) چند الگوریتمی^۴: دو یا چند الگوریتم مختلف برای صفات مشابه استفاده می شود. [۱۴]

ه) چندوجهی یا مالتی مودال^۵: این روش که با استفاده از دو یا چند از صفات مختلف بیومتریک که از سنسور های مختلف بدست آمده و استفاده از آنها را در استراتژی های انواع تلفیق است که در این مقاله از این روش استفاده می شود.



شکل ۲: دسته‌بندی بیومتریک

^۱ - Multi sensor

^۲ - Multi sample

^۳ - Multi instance

^۴ - Multi algorithm

^۵ - Multi modal

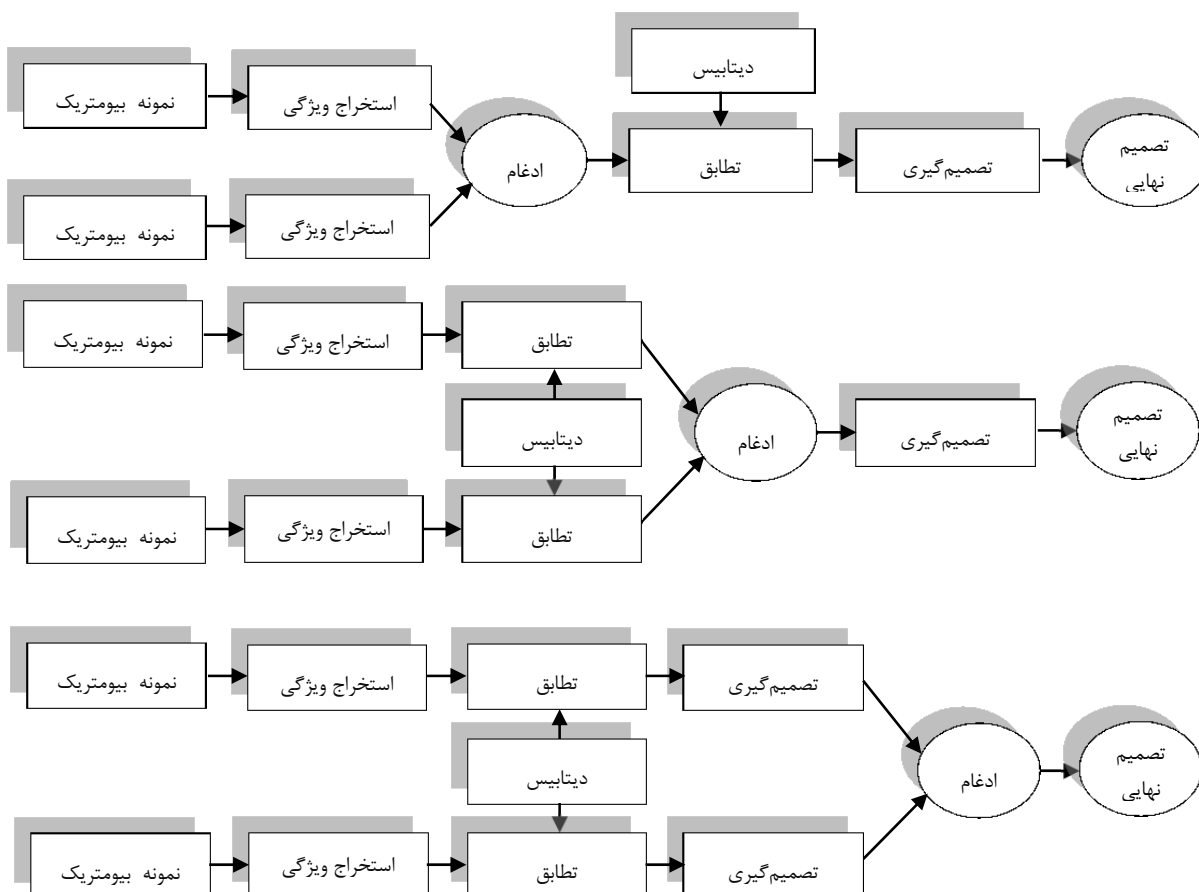
۴- سیستم‌های بیومتریک ترکیبی

لازم به ذکر است که سطح تلفیق بیومتریک خود سه دسته‌اند:

(۱) تلفیق در سطح استخراج ویژگی^۷: چندین بردار ویژگی^۸ از روش‌های بیومتریک مختلف استخراج شده و سپس به روش‌های مختلف با هم ترکیب می‌شوند.

(۲) تلفیق در سطح امتیاز تطبیق^۹: هر تطبیق بیومتریک یک درجه شباهت ایجاد می‌کند که نشان دهنده نزدیکی بردار ویژگی ورودی با بردار الگو است که حوزه تطابق نام دارد. در این سطح از تلفیق این حوزه‌ها می‌توانند با هم ترکیب شوند و در شناساندن کاربر به ما کمک می‌کنند.

(۳) تلفیق در سطح تصمیم‌گیری^{۱۰}: در این حالت، هر بیومتریک براساس اطلاعات و تکنیک‌های خود، عمل تشخیص را انجام می‌دهد که در این مقاله ادغام بیومتریک‌ها در این سطح است. [۱۵]



۵- معیارهای ارزیابی

کارایی یک سیستم بیومتریک معمولاً با توجه به نرخ خطای رد کردن به اشتباه (FRR) و نرخ خطای تشخیص دادن به اشتباه (FAR) ارزیابی می‌شود و اگر تصاویر یک شخص با هم مقایسه شود امتیاز تطبیق واقعی^{۱۱} و در غیر اینصورت مدعی^{۱۲} شناخته می‌شود. با توجه به میزان تداخل این دو ناحیه، حد آستانه برای جداسازی فواصل امتیاز تطبیق واقعی و امتیاز تطبیق مدعی انتخاب تصاویر مربوط به سایر افراد در پایگاه داده محاسبه تصاویر متعلق به همان فرد در پایگاه داده محاسبه می‌کنیم. [۱۶]

⁶ - Fusion at the feature extraction level

⁷ - feature vectors

⁸ - Fusion at matching score level

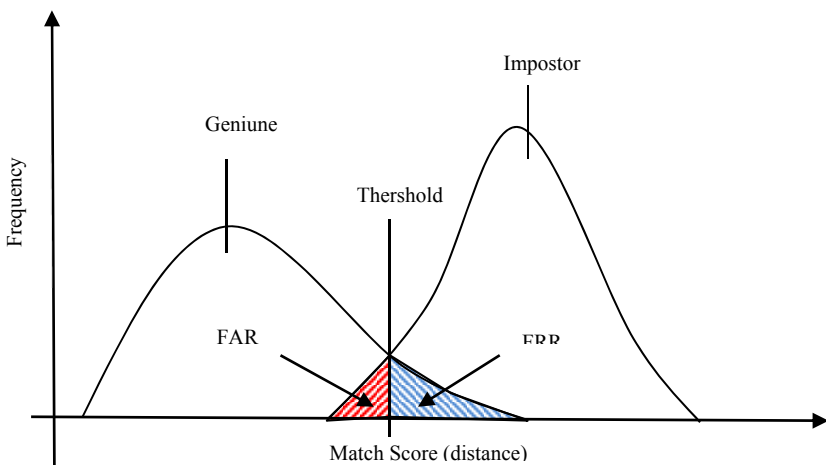
⁹ - Fusion at decision level

¹⁰ -geniune

¹¹ - impostor

سیستم مالتی مودال بیومتریک با تلفیق اثر انگشت و عنیبه در سطح تصمیم گیری

همان طور که مشاهده می شود ناحیه‌ای بین دو نمودار مشترک است که بیانگر میزان خطاهای خواهد بود. در شکل پایین مشاهده می شود که FAR و FRR با یکدیگر مرتبط هستند. با افزایش یک مقدار دیگری کاهش می یابد.



نمودار ۲: نمودار توابع چگالی احتمال تطبیق واقعی و تطبیق مدعی، خطاهای FAR و FRR بر حسب درجه تطابق، خط جداساز دو ناحیه.

۶- پایگاه داده

در این پژوهش از پایگاه داده اثranگشت FVC2004^{۱۲} استفاده شده است که پایگاه داده مورد استفاده کاملا استاندارد و شناخته شده می باشد. [۱۷] این پایگاه داده شامل چهار دیتابیس می باشد که هر کدام شامل ۸۰۰ تصویر اثرانگشت از ۱۰۰ شخص، که هر شخص ۸ نمونه دارد و برای عنیبه از پایگاه داده تصاویر موجود در بانک CASIA^{۱۳} انجام شده است که شامل ۷۵۶ تصویر از ۱۰۸ شخص، که هر شخص ۷ نمونه دارد و از نرم افزارهای XLSTAT ، Matlab و SPSS استفاده شده است.



شکل ۳: نمونه ای از تصاویر پایگاه داده

۷- نرمال سازی Min-Max

قبل از ادغام باید امتیازات تطبیق اثرانگشت و عنیبه نرمال سازی شود یعنی هر دو سیستم باید بین ۰ و ۱ باشند.

$$N = \frac{MS - \min}{\max - \min}$$

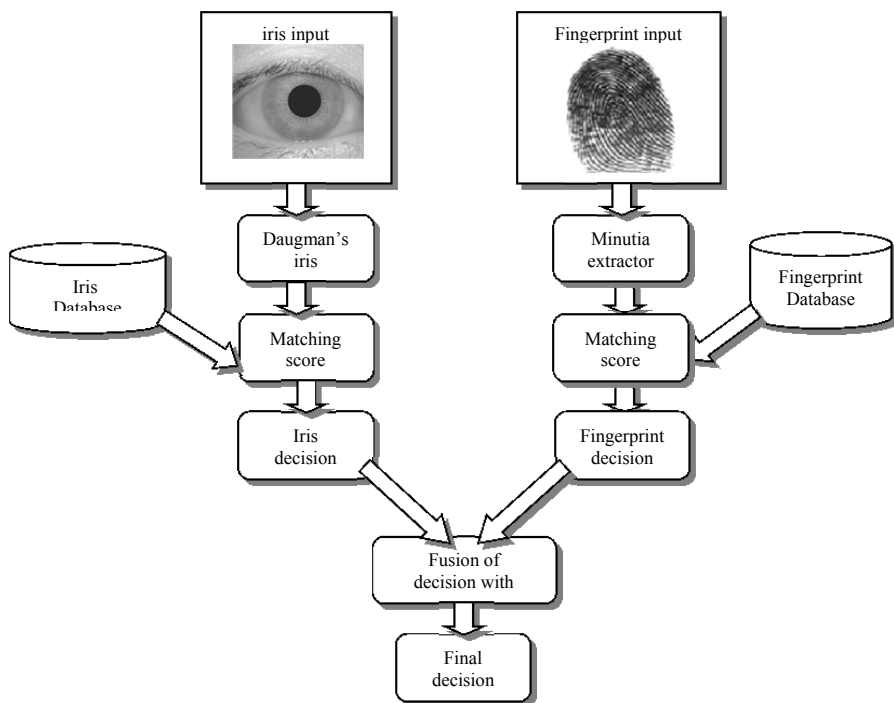
که MS امتیازات تطبیق ویژگی های اثرانگشت و عنیبه هستند.

۸- سیستم بیومتریک مالتی مودال پیشنهادی

هدف تلفیق اثرانگشت و عنیبه در سطح تصمیم گیری می باشد. مراحل مختلف سیستم بیومتریک مالتی مودال پیشنهادی که در شکل زیر نشان داده است، این مراحل به صورت زیر اجرا می شود.

¹²- Fingerprint Verification Competition 2004

¹³- Chinese Academy of Sciences-Institute of Automation



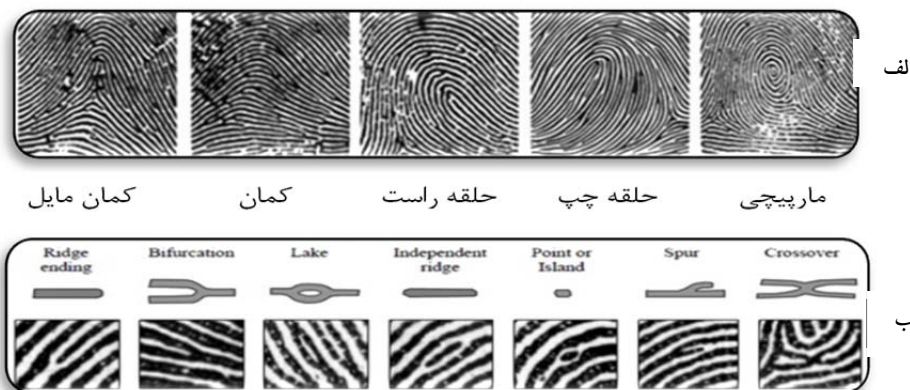
شکل ۴: مراحل مختلف سیستم بیومتریک مالتی‌مدال پیشنهادی

۹- ویژگی‌های اثرانگشت

بررسی الگوی اثر انگشت در سطوح مختلف، انواع مختلفی از ویژگی‌ها را نشان می‌دهد که به طور کلی به دو دسته تقسیم می‌شود: [13]

- ۱) ویژگی‌های سراسری: با انجام این عمل در تصاویر دیگر نیازی به مقایسه با همه داده‌ها نمی‌باشد.

- ۲) ویژگی‌های محلی: به مشخصه‌های محلی، مینوشیا می‌گویند. اثرانگشت ۱۵ نوع مینوشیا مقایسه می‌کند. مهم‌ترین مینوشیا شامل نقاط انشعابی دوشاخه و نقاط پایانی هستند.



شکل ۵: (الف) رایج‌ترین الگوهای اثر انگشت (ب) ویژگی‌های محلی اثرانگشت

۱۰- سیستم شناسایی اثرانگشت

یک سیستم تشخیص اثر انگشت شامل دستگاه ثبت اثر انگشت^{۱۴}، استخراج کننده مینوشیا^{۱۵} و تطبیق‌گر مینوشیا^{۱۶} است.

¹⁴ - Sensor

¹⁵ - Minutiae extractor

¹⁶ - Minutiae matcher

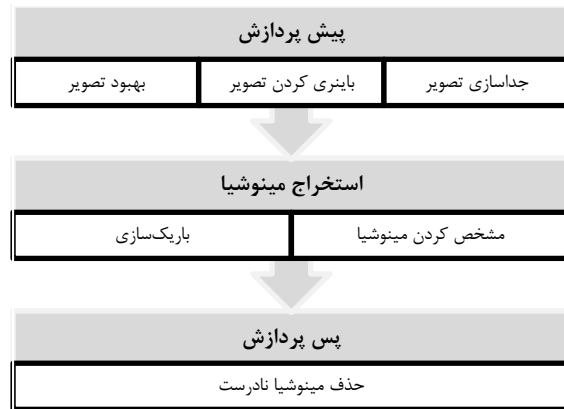
سیستم مالتی مودال بیومتریک با تلفیق اثر انگشت و عنیبه در سطح تصمیم گیری

۱-۱- سنسور اثر انگشت

امروزه در بیشتر کشورهای متعدد دنیا دستگاه‌های ثبت اثر انگشت به صورت تمام اتوماتیک و در بعضی جاها به صورت نیمه اتوماتیک درآمده است. اسکنرهای دیجیتالی زنده به پنج دسته نوری^{۱۷}، خازنی^{۱۸}، حرارتی^{۱۹}، فشاری^{۲۰} و فرا صوت^{۲۱} تقسیم می‌شوند. [18]

۱-۲- استخراج کننده مینوشیا

برای پیاده سازی استخراج کننده مینوشیا، یک روش سه مرحله‌ای که شامل پیش پردازش^{۲۲}، استخراج مینوشیا^{۲۳} و پس پردازش^{۲۴} استفاده می‌شود. [19]



شکل ۶: استخراج کننده مینوشیا

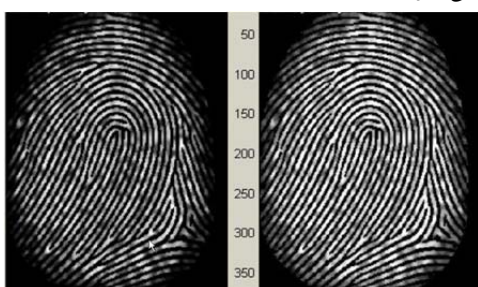
۱-۲-۱- پیش پردازش

I- بهبود تصویر اثر انگشت^{۲۵}

دو متد پذیرفته شده برای بهبود تصویر در سیستم شناسایی اثر انگشت، یکی یکنواخت کردن هیستوگرام و دیگری تبدیل فوریه می‌باشد. [20]

[21] (الف) یکنواخت کردن^{۲۶} هیستوگرام

در این مرحله با تبدیل مقادیر کم، به صفر و افزایش مقادیر زیاد باعث افزایش تفاوت (کنتراست) در عکس می‌شود که باعث بهبود تشخیص خطوط اصطکاکی نسبت به زمینه سفید عکس می‌شود.



شکل ۷: هیستوگرام بهبود یافته، تصویر سمت چپ تصویر اصلی، تصویر سمت راست تصویر بهبود یافته

¹⁷ - Optical

¹⁸ - Capacitive

¹⁹ - Thermal

²⁰ - Pressure-based

²¹ - Ultrasound

²² - pre-processing

²³ - minutia extraction

²⁴ - post-processing

²⁵ - Fingerprint Image Enhancement

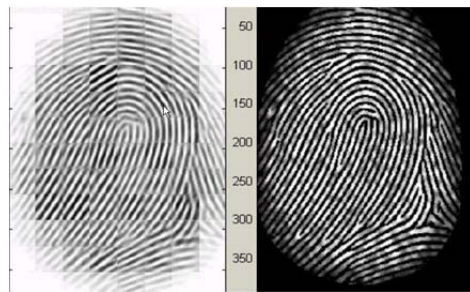
²⁶ - Equalization

ب) تبدیل فوریه^{۲۷}

در ابتدا تصویر به بلوک‌های پردازشی کوچکی (32×32 پیکسل) تقسیم شده و سپس تبدیل فوریه را مطابق رابطه زیر اعمال می‌شود:

$$F(u, v) = \sum_{x=0}^{M-1} \sum_{n=1}^{N-1} f(x, y) \times \exp\left\{-j2\pi \times \left(\frac{ux}{M} + \frac{vy}{N}\right)\right\}$$

$$u = 0, 1, 2, \dots, 31, v = 0, 1, 2, \dots, 31.$$

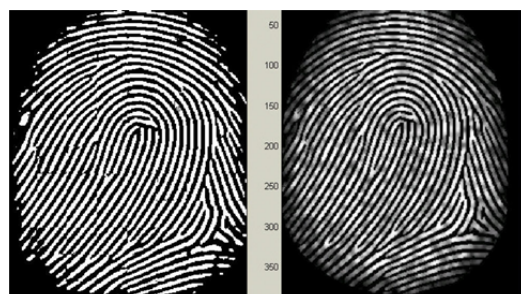


شکل ۸: بهبود تصویر با FFT . تصویر سمت چپ تصویر بهبود یافته بعد از اعمال FFT . تصویر سمت راست تصویر بهبود یافته توسط یکنواخت کردن هیستوگرام

II - باینری کردن تصویر اثر انگشت^{۲۸}

تصویر را به بلاک‌های 16×16 پیکسلی تقسیم می‌کند. سپس مقدار هر پیکسل را با میانگین هر بلاک مقایسه می‌کند، اگر مقدار پیکسل، بیشتر از میانگین باشد مقدار آن پیکسل تبدیل به ۱ و اگر کمتر باشد مقدار آن پیکسل تبدیل به صفر می‌شود. شکل زیر تاثیر این قسمت را نمایش می‌دهد:

[18] [21]



شکل ۹: باینری کردن اثر انگشت

III - بخش‌بندی تصویر اثر انگشت^{۲۹}

در حالت کلی، صرفا ناحیه مطلوب (ROI)^{۳۰} به تشخیص اثر انگشت کمک می‌کنند. ابتدا نواحی بدون رگه‌های موثر حذف می‌شوند زیرا صرفا شامل اطلاعات پس زمینه و یا نویز می‌باشند. به منظور استخراج ROI ، یک روش دو مرحله‌ای وجود دارد. قدم اول تخمین جهت بلاک‌هاست و قدم دوم اعمال برخی عملگرهای مورفولوژی است. [22]

الف) تخمین جهت بلاک^{۳۱}

²⁷ - Fourier Transformation

²⁸ - Fingerprint Image Binarization

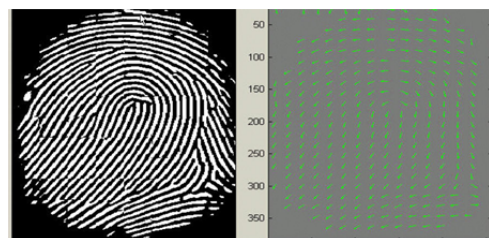
²⁹ - Fingerprint Image Segmentation

³⁰ - Region of interest

³¹ - Block direction estimation

سیستم مالتی مودال بیومتریک با تلفیق اثر انگشت و عنیبه در سطح تصمیم گیری

ابتدا یک بلاک W در W پیکسلی (با مقدار پیش فرض ۱۶ در ۱۶) انتخاب شده و الگوریتم تخمین جهت بلاک به صورت زیر انجام می‌شود:



شکل ۱۰: تصویر سمت چپ تصویر باینری شده، تصویر سمت راست نقشه جهت حرکت

ب) اجرای عملگرهای مورفولوژیک^{۳۲}

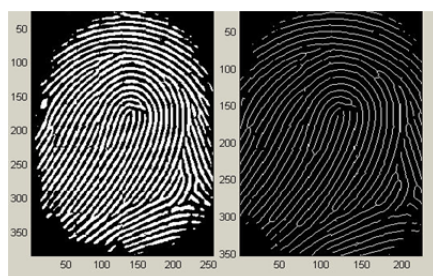
در اینجا از دو عملگر مورفولوژی به نام‌های باز^{۳۳} و بسته^{۳۴} استفاده شده است که عملگر باز می‌تواند تصاویر را بسط داده و حذف پیکهای^{۳۵} که توسط نویز پس‌زمینه نشان داده شده است و عملگر بسته تصاویر را فشرده می‌کند و حفره‌های کوچک را حذف می‌کند.

۲-۲-۱- استخراج مینوشیا

استخراج مینوشیا به دو مرحله فرعی باریک‌سازی^{۳۶} و مشخص کردن مینوشیا^{۳۷} تقسیم می‌شود:

الف) باریک‌سازی

مرحله اول در استخراج مینوشیا، نازک سازی تصاویر برای این منظور عرض خطوط اصطکاکی را تا زمانی که عرض آنها برابر با یک پیکسل شود کم می‌کنیم^{[19][21][18]}



شکل ۱۱: باریک سازی تصویر اثر انگشت

ب) مشخص کردن مینوشیا

بطور عمومی برای مشخص کردن مینوشیا از پنجره‌های 3×3 استفاده می‌کنیم. اگر پیکسل مرکزی یک و دارای دقیقاً سه همسایه با مقدار یک باشد، در اینصورت پیکسل مرکزی به عنوان یک رگه دو شاخه شده محسوب می‌شود شکل (الف). اما اگر پیکسل مرکزی با مقدار یک تنها یک همسایه با مقدار یک داشته باشد، پیکسل مرکزی به عنوان یک رگه ختم شده محسوب می‌گردد (شکل ب).

³² - Extraction by Morphological operations

³³ - OPEN

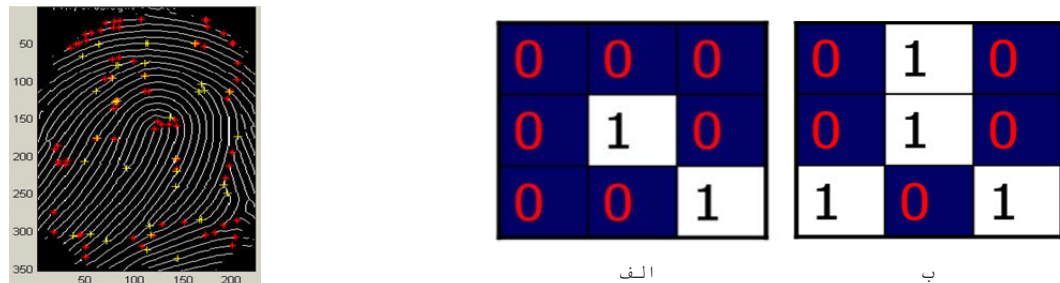
³⁴ - CLOSE

³⁵ - peaks

³⁶ - Thinning

³⁷ - Minutia Marking

سیستم مالتی مودال بیومتریک با تلفیق اثر انگشت و عنیبه در سطح تصمیم گیری



شکل ۱۳: مشخص کردن مینوشا، زرد نشان دهنده رگه دو شاخه شده و قرمز نشان دهنده رگه ختم شده

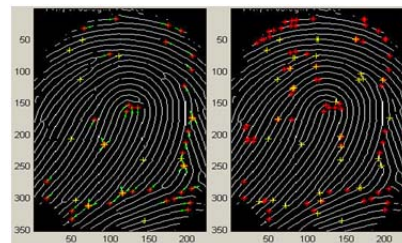
شکل ۱۲: (الف) سمت چپ رگه ختم شده (ب) سمت راست رگه‌های دو شاخه شده،

۳-۲-۳- پرس پردازش

پیش پردازش داده‌ها به تنها نمی‌تواند تمام عیوبی که هنگام ثبت اثر انگشت به وجود آمده است را از بین ببرد. به همین دلیل به یک پرس پردازش مجزا بعد از یافتن مینوشا اثر انگشت نیاز است.

• حذف مینوشا نادرست^{۳۸}

مرحله پیش پردازش، تصویر اثر انگشت را کاملاً مطلوب نمی‌سازد. برای مثال شکستگی رگه نادرست بدلیل ناکافی بودن جوهر و اتصال رگه قطع شده به علت بیش از اندازه بودن جوهر بطور کامل از بین نمی‌رود.



شکل ۱۴: تصویر سمت چپ مینوشا بعد از حذف مینوشاها نادرست

۳-۳- تطبیق گر مینوشا

دو مجموعه مینوشا از دو تصویر اثر انگشت استخراج می‌شوند و الگوریتم تطبیق مشخص می‌کند آیا این دو مجموعه مینوشا از اترانگشت‌های مشابه هستند یا نه

۱۱- مراحل تشخیص هویت بیومتریک عنیبه

برای تعیین هویت با عنیبه، روش‌هایی از جمله بولز [23]، وایلز [24]، داگمن [25] ارائه شده‌اند. به دلیل اهمیت زمان و دقیقت تشخیص در تعیین هویت، تنها روش داگمن کاربرد صنعتی موفق یافته است [26]. [7]. مراده انجام عمل تشخیص هویت عنیبه به صورت زیر می‌باشد [27]:

I- تصویربرداری

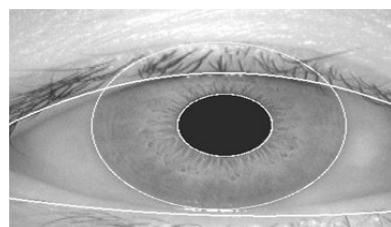
برای تشخیص هویت به کمک تصاویر عنیبه ابتدا باید تصویر چشم برای پردازشی به صورت دیجیتال تهیه شود. در اینجا پایگاه داده ای از تصاویر چشم انسان با استفاده از نور مرئی و نور مادون قرمز تهیه شده است که پایگاه تصاویر استفاده شده در قسمت‌های بعدی پروژه پایگاه تصاویر CASIA [28] می‌باشد.

³⁸ - False Minutia Removal

سیستم مالتی مودال بیومتریک با تلفیق اثر انگشت و عنیبه در سطح تصمیم گیری

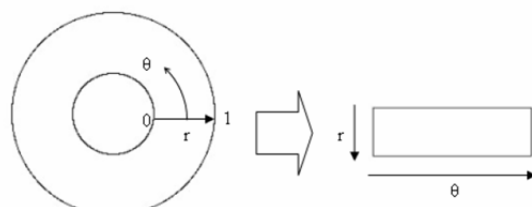
قطعه بندی^{۳۹} (پیدا کردن مرز عنیبه - صلیبیه و مرز عنیبه - مردمک)

قطعه بندی در سامانه تشخیص هویت دارای اهمیت زیادی است که در صورت عدم انجام دقیق آن، چهار نوع نویز ناشی از مژه‌ها، پلک‌ها، انعکاسات و مردمک به سیستم اضافه شده و کارایی سیستم را پایین می‌آورد^[29] بنابراین برای سهولت پردازش‌های بعدی ابتدا باید تصاویر اولیه عنیبه قطعه بندی شوند، زیرا موفقیت سیستم در مراحل بعدی به دقت انجام این مرحله بستگی دارد^[3].



-III نرمال سازی^{۴۰}

بدین ترتیب ناحیه عنیبه به صورت یک نوار نرمالیزه شده با توجه به مرزهای عنیبه و مرکز مردمک بدست می‌آید. ناحیه عنیبه روی یک نوار 512×64 (به ترتیب در راستاهای θ و r) نگاشته شده است.



شکل ۱۶: چگونگی نگاشت دیسک عنیبه بر روی نواری با ابعاد دلخواه



شکل ۱۷: ناحیه نرمالیزه شده عنیبه

-IV استخراج ویژگی

این کار به تولید یک کد ۲۵۶ بایتی (۲۰۴۸ بیتی) منجر می‌شود که پروسه ذخیره سازی و همچنین مقایسه را کاراتر می‌سازد.^[27]



شکل ۱۸: مراحل استخراج ویژگی درسامانه داگمن

-V تطابق

استفاده از فاصله همینگ برای مقایسه دو الگو در سامانه تشخیص هویت براساس تصاویر عنیبه می‌تواند به ما بیان کند که آیا دو کد تولید شده از دو تصویر متعلق به یک چشم هستند یا نه. اگر دو بیت مشابه یعنی هر دو ۰ یا هر دو یک باشد سیستم ارزش ۰ را به نتیجه مقایسه می‌دهد و اگر متفاوت باشد ارزش ۱ نتیجه مقایسه دو بیت خواهد بود. رابطه فاصله همینگ به صورت زیر است:

$$HD = \frac{1}{N} \sum_{i=1}^N X_i \oplus Y_i$$

³⁹ - Segmentation

⁴⁰ - Normalization

۱۲- منطق فازی

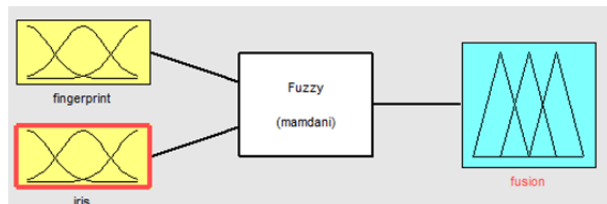
سیستم استنتاج فازی نگاشتی از فضای ورودی به خروجی است که با استفاده از توابع عضویت و قوانین فازی پیاده سازی می‌شوند در واقع سیستمی است که تجربیات بشر را با توابع عضویت و قوانین فازی پیاده سازی می‌کند و یک روش عمومی برای ترکیب دانش، فن آوری هوشمند، کنترل و تصمیم‌گیری است. از مهم‌ترین الگوریتم‌های استنتاج فازی می‌توان به الگوریتم استنتاج ممدانی، تاکاگی سوگنو اشاره کرد.

از جمله مزایای منطق فازی می‌توان به موارد زیر اشاره کرد:

- به طور گسترده‌ای در سیستم‌های کنترل و پیش‌بینی تصمیم قابل استفاده است.
- برای توصیف پدیده‌های غیرقطعی و نامشخص به کار می‌رسند.
- منطق فازی به تفکر و منطق انسان نزدیک است.
- برنامه‌های طراحی شده با منطق فازی سریع و کم هزینه هستند.
- به راحتی می‌تواند مدل‌سازی شوند.

۱۲-۱- تلفیق اثرانگشت و عنیبه با استفاده از الگوریتم استنتاج ممدانی

مراحل اصلی منطق فازی در شکل نشان داده شده است. [30]

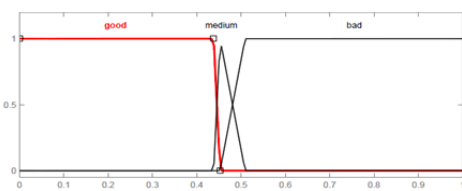


شکل ۱۹: نمایی از منطق فازی

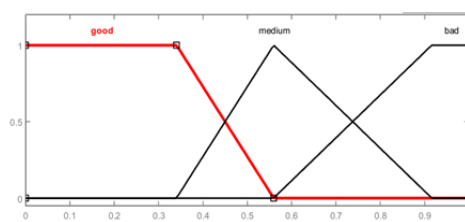
سیستم‌های استنتاج فازی پیشنهاد شده باعث کاهش نرخ خطای FAR و FRR می‌شود قوانین if-Then فازی تصمیماتی را براساس فاصله محاسبه شده برای هر روش را ایجاد می‌کند.

بدین صورت

- ۱) دو متغیر فازی را برای ورودی تعریف می‌کنیم: "Fingerprint" برای صفت اثر انگشت و "Iris" برای صفت عنیبه.
- ۲) متغیر فازی خروجی تعریف می‌کنیم: "Fusion"
- ۳) برای هر ورودی، سه مجموعه‌ی فازی تعریف شده است: بد، متوسط و خوب (good, medium, bad)



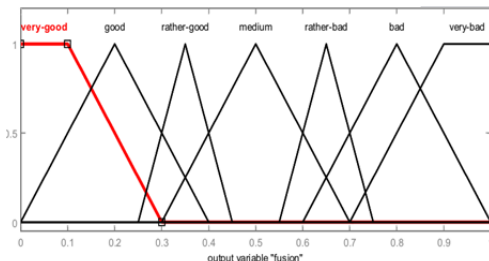
شکل ۲۱: ورودی سیستم فازی برای عنیبه



شکل ۲۰: ورودی سیستم فازی برای اثرانگشت

(very bad, bad, rather bad, medium, rather good, good, very good) ۴) خروجی فازی شامل:

سیستم مالتی مودال بیومتریک با تلفیق اثر انگشت و عنیبه در سطح تصمیم گیری



شکل ۲۲: خروجی فازی (الگوریتم استنتاج ممدادنی)

۵) قوانین if-Then فازی : ترکیب تصمیم گیری براساس روش عنیبه و اثر انگشت با توجه به قوانین فازی به صورت جدول ۱ پیاده‌سازی می‌شود با قوانین، وزن بیشتری به عنیبه می‌دهیم چون طبق نتایج آزمایش عنیبه و اثرانگشت که در جدول ۲ و ۳ است دقت و نرخ پذیرش واقعی سیستم شناسایی عنیبه بالاتر از سیستم شناسایی اثرانگشت است. در این قسمت قوانین را به صورت زیر وزن دهی می‌کنیم.

(۶)

جدول ۱: قوانین فازی

Fingerprint Iris	Good	Medium	Bad
Good	very good	good	rather good
Medium	good	rather good	rather bad
Bad	medium	bad	Very bad

۱۳ - تجزیه و تحلیل

در این پژوهه از پایگاه داده اثرانگشت FVC2004^{۴۱} استفاده شده است که پایگاه داده مورد استفاده کاملاً استاندارد و شناخته شده می‌باشد [17]. پیاده سازی بر روی تصاویر عنیبه موجود در بانک CASIA انجام شده است که آزمایشات بر روی ۶۲۴ تصویر اثرانگشت از ۱۰۴ شخص، که هر شخص ۶ نمونه دارد. برای عنیبه، آزمایشات بر روی ۶۲۴ تصویر عنیبه از ۱۰۴ شخص، که هر شخص ۶ نمونه دارد. در این پژوهش ابتدا سیستم شناسایی اثرانگشت و عنیبه پیاده‌سازی شد و سپس عملکرد روش‌های مختلف برای ترکیب عنیبه و اثر انگشت مورد بررسی قرار گرفت، که با استفاده از روش‌های منطق فازی ممدادنی، قانون میانگین گیری و قانون ضرب در ترکیب عنیبه و اثر انگشت در سطح تصمیم گیری انجام شده است.

نتایج تجربی نشان داده اند که روش پیشنهادی که ادغام با استفاده از روش منطق فازی در سطح تصمیم گیری است دقت و نرخ پذیرش واقعی بالاتری نسبت به روش‌های دیگر و همچنین سیستم تک مودال دارد. در جداول زیر محل برخورد FAR و FRR که نشان‌دهندهی بهترین میزان آستانه مشخص شده است.

در بیومتریک، دقت سیستم از فرمول زیر محاسبه می‌شود:

$$\text{Accuracy} = 100 - \left(\frac{\text{FAR} + \text{FRR}}{2} \right)$$

⁴¹ - Fingerprint Verification Competition 2004

سیستم مالتی مودال بیومتریک با تلفیق اثر انگشت و عنیبه در سطح تصمیم گیری

جدول ۵: بهترین **FRR** و **FAR**، حد آستانه برای سیستم شناسایی اثر انگشت

میانگین گیری

threshold	FRR	FAR
0.149	1.000	0.000
0.153	0.999	0.000
0.227	0.988	0.000
0.316	0.840	0.000
0.363	0.613	0.000
0.402	0.412	0.000
0.421	0.300	0.000
0.443	0.191	0.000
0.445	0.174	0.001
0.472	0.097	0.004
0.487	0.062	0.012
0.494	0.051	0.018
0.496	0.045	0.021
0.507	0.035	0.041
0.526	0.021	0.103
0.560	0.006	0.353
0.573	0.003	0.486
0.583	0.002	0.595
0.610	0.001	0.824
0.632	0.000	0.936
0.674	0.000	0.995
0.697	0.000	0.999
0.738	0.000	1.000

جدول ۶: بهترین **FRR** و **FAR**، حد آستانه برای الگوریتم استنتاج

مدانی

threshold	FRR	FAR
0.11	0.743	0.000
0.15	0.542	0.000
0.20	0.156	0.000
0.25	0.097	0.000
0.30	0.054	0.000
0.35	0.033	0.000
0.40	0.026	0.000
0.50	0.021	0.001
0.56	0.017	0.002
0.59	0.012	0.003
0.60	0.012	0.005
0.64	0.010	0.013
0.70	0.006	0.042
0.75	0.004	0.219
0.77	0.003	0.598
0.79	0.001	0.805
0.80	0.001	0.927
0.81	0.000	0.986
0.84	0.000	0.999

جدول ۲: بهترین **FRR** و **FAR**، حد آستانه برای سیستم شناسایی اثر انگشت

Threshold	FRR%	FAR%
30	99.04	0.00
35	97.95	0.00
40	94.42	0.00
45	88.27	0.00
50	77.37	0.00
55	62.18	0.01
58	50.26	0.05
60	44.68	0.12
65	27.95	0.99
70	12.44	10.89
75	6.09	20.45
80	2.18	46.87
85	0.71	75.10
90	0.13	92.34
95	0.06	98.51

جدول ۳: بهترین **FRR** و **FAR**، حد آستانه برای سیستم شناسایی عنیبه

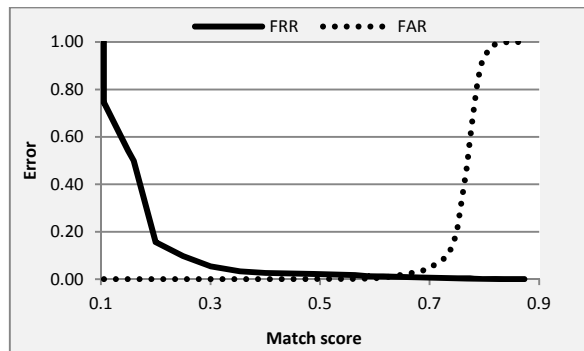
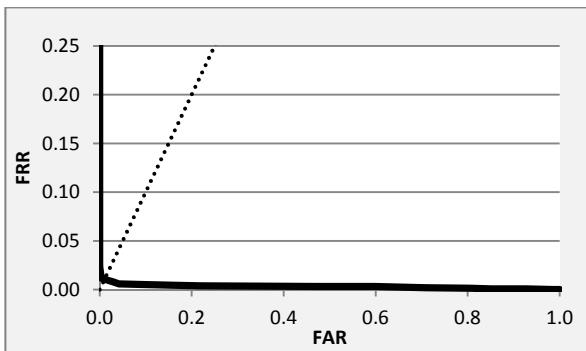
Threshold	FRR%	FAR%
0.188	99.936	0.000
0.203	99.744	0.000
0.250	97.756	0.000
0.300	84.423	0.000
0.350	50.000	0.000
0.400	14.487	0.000
0.448	2.821	0.050
0.451	2.564	0.175
0.453	2.308	0.338
0.465	1.667	10.738
0.471	1.346	31.035
0.476	1.090	57.098
0.482	0.833	80.597
0.502	0.128	99.950

جدول ۴: بهترین **FRR** و **FAR**، حد آستانه با استفاده از قانون ضرب

threshold	FRR	FAR
0.013	0.999	0.000
0.100	0.830	0.000
0.150	0.463	0.000
0.194	0.161	0.000
0.198	0.143	0.001
0.225	0.060	0.005
0.230	0.052	0.007
0.240	0.041	0.014
0.245	0.033	0.021
0.265	0.015	0.068
0.273	0.012	0.101
0.293	0.007	0.233
0.314	0.002	0.437
0.350	0.000	0.794
0.370	0.000	0.913
0.404	0.000	0.989

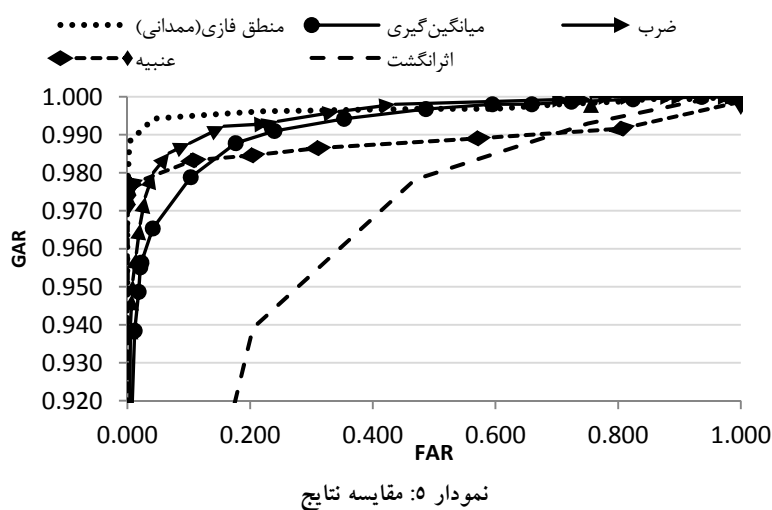
سیستم مالتی مودال بیومتریک با تلفیق اثر انگشت و عنیه در سطح تصمیم گیری

در جدول ۶ که بهترین FAR و FRR، حد آستانه برای منطق فازی را نشان می‌دهد و در نمودار ۳ محل برخورد دو خط نشان‌دهندهٔ بهترین میزان آستانه می‌باشد که در حد آستانه ۰.۵۹، FRR برابر ۱.۲٪ و FAR برابر ۰.۳٪ است.



در نمودار ۴، نرخ پذیرش واقعی^{۴۲} ($GAR = 1 - FRR$) را برای آستانه‌های متفاوت FAR نشان می‌دهد. به عنوان مثال در نرخ خطای FRR برابر ۱.۲٪، نرخ پذیرش واقعی ۹۸.۸٪ خواهد بود.

در نمودار زیر به مقایسه نتایج بدست آمده از روش‌های بررسی شده برای ادغام اثر انگشت و عنیه در یک نمودار پرداخته است. نتایج تجربی نشان داده که روش پیشنهادی که ادغام با استفاده از روش منطق فازی ممدانی در سطح تصمیم گیری، دقت و نرخ پذیرش واقعی بالاتری نسبت به روش‌های دیگر و همچنین سیستم تک مودال دارد.



۱۶- مقایسه نتایج دقت آزمایش‌ها

در جدول ۷ به مقایسه دقت روش‌های مختلف تلفیق و همچنین بیومتریک تکی پرداخته شده است. همانطور که در جدول ۲ تا ۶ بهترین حد آستانه و FAR را نشان می‌دهد که در اینجا به مقایسه دقت آزمایش‌ها می‌پردازد.

دقت و صحت^{۴۳} برابر $(FAR + FRR)/2$ است. به عنوان مثال بهترین حد آستانه برای سیستم منطق فازی در جدول ۶ برابر ۰.۵۹ است که در این حد آستانه FAR برابر ۱.۲٪ و FAR برابر ۰.۳٪ است. و طبق فرمول دقت و صحت سیستم برابر ۹۹.۲۴٪ است. دقت و صحت سیستم برای اثر انگشت ۸۸.۳۳٪، عنیه ۹۸.۶۷٪، قانون ضرب ۹۷.۲۹٪، قانون میانگیری ۹۷.۷۲٪، فازی ممدانی ۹۹.۲۴٪ می‌باشد.

⁴² - Geniune accepte Rate

⁴³ - Accuracy

جدول ۷: مقایسه دقت آزمایش‌ها

آزمایش‌ها	دقت٪
Fingerprint(fvc2004)	88.33
Iris(CASIA-V1)	98.67
Fingerprint+Iris(Mean rule)	96.72
Fingerprint+Iris(product rule)	97.29
Fingerprint+Iris(Mamdani fuzzy logic)	99.24

۱۴- مقایسه روش پیشنهادی با کارهای مرتبط

در جدول زیر به مقایسه روش پیشنهادی با روش‌های مختلف ادغام اثranگشت و عنیبه در مقالات پرداخته می‌شود.

جدول ۳-۵: مقایسه کارایی با کارهای مرتبط

نوسینده	سال	سطح ادغام	دقت٪
کانکرال و همکارانش [31]	۲۰۱۲	استخراج ویژگی	۹۷.۵
گوانده و همکارانش [32]	۲۰۱۲	امتیاز	۹۸.۵
گوانده [33]	۲۰۱۳	استخراج ویژگی	۹۴.۰۷
بهارادی و همکارانش [34]	۲۰۱۴	تصمیم‌گیری	۷۷
سامیت [35]	۲۰۱۲	استخراج ویژگی	۹۸.۷
روش پیشنهادی	۲۰۱۷	تصمیم‌گیری	۹۹.۲۴

۱۵- نتیجه گیری

در این پژوهش ابتدا اثranگشت مبتنی بر مینوشیا و سیستم شناسایی عنیبه با روش داگمن پیاده‌سازی شد و سپس عملکرد روش‌های مختلفی برای ترکیب عنیبه و اثranگشت مورد بررسی قرار گرفت، که با استفاده از روش‌های منطق فازی ممدانی، قانون میانگین گیری و قانون ضرب در ترکیب عنیبه و اثranگشت در سطح تصمیم گیری انجام شده است. نتایج نشان می‌دهد که تلفیق با استفاده از منطق فازی ممدانی نسبت به سایر روش‌های ادغام و همچنین سیستم تک مودال بهتر است.

آنچه در این پژوهش مورد بررسی قرار گرفت، کم کردن نرخ خطأ و بهبود دقت در سطح تصمیم گیری در سیستم مالتی مودال مبتنی بر اثranگشت و عنیبه بوده است که براساس منطق فازی تر است.

با توجه به بررسی آزمایش‌های صورت گرفته در جهت بهبود تصمیم گیری در سطوح مختلف و انجام مطالعات آتی ارائه می‌گردد. تلفیق دو بیومتریک عنیبه و اثranگشت با استفاده از شبکه عصبی و منطق فازی در سطوح دیگر مثل سطح استخراج ویژگی یا سطح امتیاز را می‌توان پیشنهاد داد. در سیستم شناسایی اثranگشت و عنیبه می‌توان از الگوریتم‌های دیگری که دقت بالاتری دارند مورد استفاده قرار گیرد چون باعث کم کردن نرخ خطأ و بهبود دقت در سیستم مالتی مودال می‌شود. در زمینه شناسایی عنیبه شامل وايلدر⁴⁴ [36] و روش ژانگ⁴⁵ [37] ... است. می‌توان برای افزایش دقت سیستم، روش‌های بیومتریکی دیگری را به سیستم پیشنهادی اضافه کنیم نظیر چهره یا کف دست تا دقت سیستم افزایش يابد.

⁴⁴ - Wildes

⁴⁵ - Zhang

سیستم مالتی مودال بیومتریک با تلفیق اثر انگشت و عنیه در سطح تصمیم گیری

- [1] Ekramul Hamid Morshedul Arefin, "A Comparative Study on Unimodal and Multimodal Biometric Recognition," International Journal of Innovative Science and Modern Engineering (IJISME), 2014.
- [2] N.Radha Soruba Sree, "A Survey on Fusion Techniques for Multimodal Biometric Identification," International Journal of Innovative Research in Computer and Communication Engineering(IJIRCCE), 2014.
- [۳] تینا پورشاهید، راهنمای جامع فن آوری بیومتریک: تشخیص و تایید هویت براساس آخرین تکنولوژی های زیست سنجی، ۱۳۹۳.
- [4] majid mohamadi, mehdi jafary Mohamed abdolahi, "Multimodal Biometric system Fusion Using Fingerprint and Iris with Fuzzy Logic., " IJSCE, 2013.
- [5] Houda Benaliouche and Mohamed Touahria, "Comparative Study of Multimodal Biometric Recognition by Fusion of Iris and Fingerprint," The Scientific World Journal, p. 13, 2014.
- [6] Anil Jain Arun Ross, "Multimodal biometrics: An overview," International Journal of Advanced Research in Computer Science and Software Engineering, 2004.
- [7] John Daugman, "How Iris Recognition Works?," in International Conference on Image Processing, vol. 1, 2002.
- [8] M. Achery Patrick Verlinde, "A Contribution to Multi-Modal Identity Verification Using Decision Fusion," 1999.
- [9] Fellow, Arun Ross, Salil Prabhakar Anil K. Jain and Arun Ross, Salil Prabhakar Fellow, "An Introduction to Biometric Recognition," IEEE TRANSACTIONS ON CIRCUITS AND SYSTEMS FOR VIDEO TECHNOLOGY, 2004.
- [10] L. Hong and Y. Kulkarni A. Jain, "A Multimodal Biometric System Using Fingerprint, Face, and Speech," in Proceedings of the International Conference on Audio-Video based Biometric Person Authentication, 1999.
- [11] A. Jain L. Hong, "Integrating faces and fingerprints for personal identification," IEEE Trans. Pattern Analysis and Machine Intelligence, 1998.
- [12] Ujwalla Gawande and Anushree Sapre, Apurva Jain, Sanchita Bhriegu, S , "Fingerprint-Iris Fusion Based Multimodal Biometric System Using Single Hamming Distance Matcher," International Journal of Engineering Inventions, pp. 54-61, 2013.
- [13] Davide et al Maltoni, Handbook of fingerprint recognition., 2009.
- [14] Ma'en Zaid AlRwashdeh Harbi AlMahafzah, A Survey of Multibiometric Systems.
- [15] Arun Ross, Salil Prabhakar Anil K. Jain, "An Introduction to Biometric Recognition," IEEE, 2004.
- [16] N.K. Ratha, and R. Bolle S. Pankanti, "Structure in Errors:A Case Study in Fingerprint Verification," in Pattern Recognition, 2002.
- [17] Fingerprint Database. [Online]<http://bias.csr.unibo.it/fvc2004/>
- [18] Maltoni D Maio D., "Direct gray-scale minutiae detection in fingerprints," IEEE Transactions on Pattern Analysis Machine Intelligence, p. 19, 1997.
- [19] Prapti Deshmukh Rupali Telgad, "Computer Aided Technique for Finger Print Image Enhancement and Minutiae Extraction," International Journal of Computer Applications, pp. 9-15, 2013.
- [۲۰] خبر النساء محقق نژاد، ارزیابی و تحلیل الگوریتم های تایید هویت براساس ادغام در سطح تصمیم مبتنی بر اثر انگشت و عنیه، ۱۳۹۰.
- [21] OM SRI SATYASAI TATSAT NAIK, Study of finger prints recognition system, 2003.
- [22] S. Chen and A.K. Jain N. Ratha, N. Ratha, S. Chen, and A.K. Jain, "Adaptive Flow Orientation Based Feature Extraction in Fingerprint Images," Pattern Recognition, pp. 1657-1672, 1995.
- [23] Boashash B. Bolse W, "A human identification technique using images of the iris and wavelet transform," IEEE, 1998.
- [24] Wildes R, "Iris recognition: an emerging biometric technology," IEEE , 1997.
- [25] Gifford MM, McCartney DJ, Seal CH Daugman J, "Networked biometrics systems: requirements based on iris recognition," BT Technol J, 1999.
- [۲۶] امین الله مه آبادی، اصغر میرزابی، "روش نوین تشخیص عنیه در تعیین هویت" چشم پزشکی بینا، ۱۳۸۷.
- [27] Masek Libor, recognition of human iris patterns for biometrics identification, 2003.
- [28] Chinese Academy of Sciences, Institute of Automation. [Online]. <http://biometrics.idealtest.org/>
- [۲۹] هاتف مهرابیان، احمد پورصابری، بابک نجار اعرابی، "تشخیص مرزهای عنیه در تصویر چشم در سامانه های تشخیص هویت با استفاده از ماسک لالاسین و تبدیل هاف" چهارمین کنفرانس ماشین بینایی و پردازش تصویر ایران، ۱۳۸۵.
- [30] majid mohamadi, mehdi jafary Mohamed abdolahi, "Multimodal Biometric system Fusion Using Fingerprint and Iris with

Fuzzy Logic," IJSCE, 2013

[31] S. D. Sapkal R. N. Kankrale, "Template level concatenation Template level concatenation systems," International Journal of Electronics, Communication& Soft Computing Science & Engineerin, 2012.

[32] S. R.Nair,H. Balani, N. Pawar, M. Kotpalliwar U.Gawande, "A high speed frequency based multimodal biometric system using iris and fingerprint," International Journal on Advanced Computer Engineering and Communication Technology, 2012.

[33] Anushree Sapre, Apurva Jain, Sanchita Bhriegu, Shruti Sharma Ujwalla Gawande, "Fingerprint-Iris Fusion Based Multimodal Biometric System Using Single Hamming Distance Matcher," International Journal of Engineering Inventions, 2013.

[34] Bhavesh Pandya, Bhushan Nemade Vinayak Ashok Bharadi, "Multimodal Biometric Recognition using Iris and Fingerprint," IEEE transactions, 2014.

[35] Vishal M. Patel, Nasser M. Nasrabadi, Rama Chellappa S.Sumit, "Joint Sparsity-Based Robust Multimodal Biometrics Recognition," Springer-Verlag Berlin Heidelberg, 2012.

[36] R.Wildes, "Iris recognition: An emerging biometric technology," Proceedings of the IEEE, 1997.

[37] D.Zhang W.Kong, "Accurate iris segmentation based," ISIMVSP, 2001.

Multimodal biometric system combining fingerprint and iris at decision level

Fatemeh Keshavarzi^{1*}, Kaveh Pashaei², Hossein Momenzadeh Haghghi³

1. Department of Information Technology Engineering, Bushehr branch, Islamic Azad University, Bushehr, Iran
fk.keshavarzi89@gmail.com

2. Department of Information Technology Engineering, Bushehr branch, Islamic Azad University, Bushehr, Iran
kaveh80@gmail.com

3. Department of Information Technology Engineering, Bushehr branch, Islamic Azad University, Bushehr, Iran
momenzadeh.hossein@gmail.com

Abstract:

Mono-modal biometric systems, by using only a biometric feature to determine the identity of individuals, we will face some problems such as noisy data, low distinction biometric feature, unacceptable error rates and spoofs attacks. But by using multi-modal biometric systems, we will largely overcome these problems and increase the performance and reliability of biometric identification even more, because these systems in comparison with mono-modal biometric systems have more accuracy and greater security. In this regard, this study combines two common and widely used biometric trait fingerprint and iris at the level of decision-making by using the fuzzy logic method. Therefore we have used CASIA database for iris and FVC2004 database for the fingerprint. Results of tests and studies indicate that the proposed combination of biometric systems has more precision and reliability than mono-modal biometric systems. In the fusion system, the error Type I (FAR) and Type II (FRR), respectively are 0.3% and 1.2%.

Keywords: multimodal biometrics, iris and fingerprint combination, the level of decision-making, iris recognition, fingerprint recognition.